

УДК 539.172.1

АВТОМОДЕЛЬНЫЕ СВОЙСТВА ВЗАИМОДЕЙСТВИЙ ЛЕГКИХ ЯДЕР

Экспериментальные результаты исследования реакций фрагментации

*М.Вытыкачова¹, О.Главачова², В.В.Глаголев, А.Дирнер¹,
А.К.Качарова³, Р.М.Лебедев, Г.Мартинска¹, М.С.Ниорадзе³,
Т.Семярчук⁴, Й.Урбан¹*

В работе обсуждаются результаты исследования реакций фрагментации легких ядер с помощью 100 см водородной пузырьковой камеры. Анализ данных проводится с помощью нового инвариантного представления в пространстве 4-скоростей. Показано автомодельное поведение этих процессов и удобство работы в пучках ускоренных ядер с использованием широкоапertureного прецизионного спектрометра.

Работа выполнена в Лаборатории высоких энергий ОИЯИ.

Self-Similarity Properties of the Light Nuclei Collisions. Experimental Results of the Fragmentation Reactions Investigation

M. Vytykáčová et al.

The results of investigation of light nuclei fragmentation reactions from the 100 cm hydrogen bubble chamber have been discussed. A comparison of data has been carried out by means of the new invariant representation in the 4-velocity space. We demonstrate the self-similarity behaviour of these processes and the preference of working in accelerated nuclei beams using a precision spectrometer.

The investigation has been performed at the Laboratory of High Energies, JINR.

1. Введение

В работе [1] введено новое представление данных по фрагментации релятивистских ядер в реакциях типа

$$p + A \rightarrow A' + X, \quad (1)$$

¹Университет им. П.Й.Шафарика, Кошице, Словакия

²Технический университет, Кошице, Словакия

³Институт физики высоких энергий Тбилисского государственного университета

⁴Институт ядерных исследований, Варшава

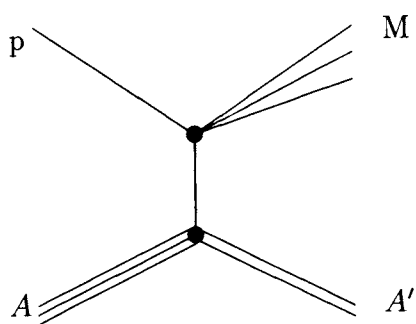


Рис.1. Схематическое представление процесса фрагментации

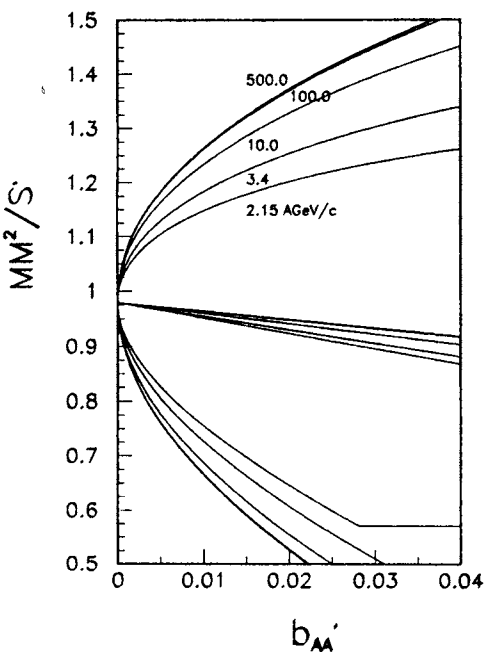


Рис.2. Граничные контуры для реакции ${}^3\text{He}p \rightarrow {}^3\text{He}pp$ в области фрагментации при различных импульсах падающего протона

основным отличием которого от диаграммы типа Чу-Лоу является использование вместо величины четырехмерного переданного импульса $|t|$ относительной четырехмерной скорости [2]:

$$b_{AA'} = - \left(\frac{P_A}{M_A} - \frac{P_{A'}}{M_{A'}} \right)^2. \quad (2)$$

Здесь индексы A и A' относятся к исходному ядру и фрагменту, P — четырехмерные импульсы.

Другим отличием является способ нормировки квадрата недостающей массы

$$MM^2 = (P_p + P_A - P_{A'})^2$$

к измеряемому фрагменту A' . В качестве нормирующей величины используется квадрат полной энергии S' , системы из падающей частицы и части ядра, с которой происходит взаимодействие $R = A - A'$:

$$S' = (P_p - P_R)^2.$$

Таким образом, для процесса, условно представляемого схемой на рис.1, строится двумерная диаграмма:

$\left[\frac{MM^2}{S'} \text{ vs } b_{AA'} \right]$. На рис.2 мы приводим серию граничных контуров в области фрагментации (малые $b_{AA'}$) для реакции ${}^4\text{He}p \rightarrow {}^3\text{He}pp$ при 2,15 A ГэВ/с при различных импульсах падающего протона (от 2 до 500 ГэВ/с). Видна автомодельность поведения реакций фрагментации, выражающаяся в стремлении для данной реакции ширины контура к постоянному значению при увеличении энергии столкновения. Такое поведение, как показано в работе [1], имеет кинематическую природу.

2. Экспериментальные результаты

В течение ряда лет с помощью 100 см водородной пузырьковой камеры ЛВЭ ОИЯИ, облученной в пучках релятивистских ядер, был накоплен большой материал по

взаимодействиям легких ядер (d , ${}^3\text{He}$, ${}^4\text{He}$) с протонами [3]. Эти данные мы и используем при дальнейшем рассмотрении.

На рис.3а и б приведены данные по реакции ${}^4\text{He}p \rightarrow {}^3\text{H}pp$ при двух импульсах (2,15 и 3,4 А ГэВ/с) вместе с граничным контуром диаграммы. Показана также «срединная» линия, соответствующая случаю, когда в системе покоя ядра A импульсы падающего протона и вылетающего фрагмента ортогональны, т.е. $\mathbf{p}_0 \cdot \mathbf{p}_{A'} = 0$.

Видно, что точки, представляющие экспериментальные события, в основном вписываются в соответствующий контур. Выпадение отдельных точек за границы контура связано с ошибками измерений. Подавляющее большинство событий с фрагментом-триトンом содержится в области малых $b_{AA'}$ ($< 0,04$), т.е., как и предсказывалось в работе [4]. Например, из 2808 событий на рис.3а только 2 имеют значения $b_{AA'} > 0,04$.

Аналогичная картина видна и для реакции ${}^3\text{He}p \rightarrow dpp$ при 4,5 А ГэВ/с, диаграмма для которой показана на рис.4.

Контур предлагаемой диаграммы естественным образом ограничен снизу пороговым значением $\frac{M_x^2}{S'}$, где M_x — сумма масс частиц в верхнем узле диаграммы рис.1. Это можно продемонстрировать на примере двух реакций $dp \rightarrow ppn$ и $dp \rightarrow ppp\pi^-$ при 1,6 А ГэВ/с, данные для которых приводятся на рис.5а. Здесь нижние горизонтальные границы диаграмм соответствуют сумме масс двух нуклонов либо сумме масс двух нуклонов и π -мезона (для второй реакции).

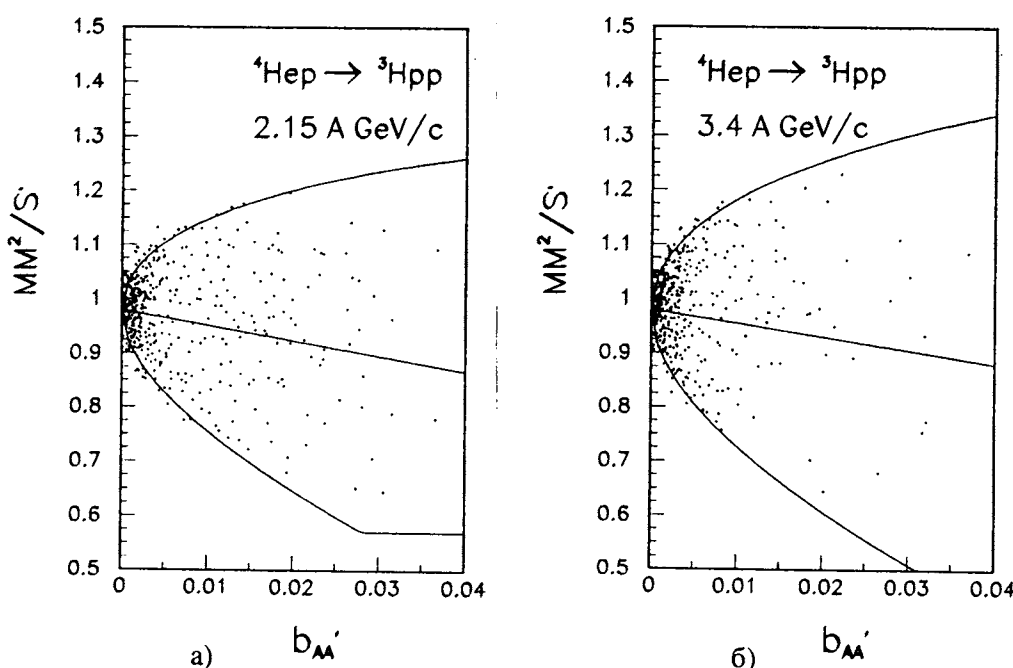


Рис.3. Диаграмма MM^2 / S' vs $b_{AA'}$ для реакции ${}^4\text{He}p \rightarrow {}^3\text{H}pp$ при 2,15 А ГэВ/с (а) и 3,4 А ГэВ/с (б)

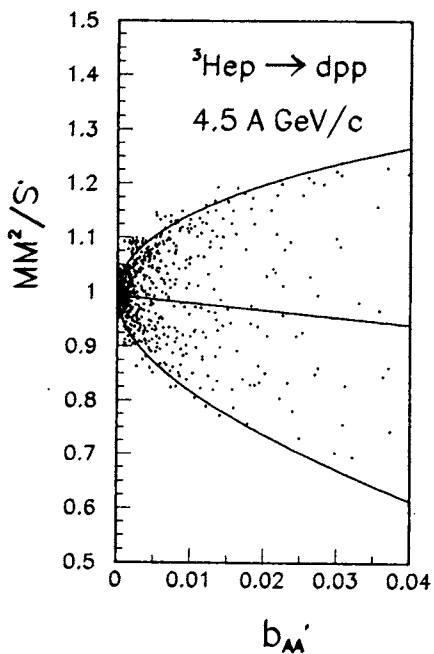


Рис.4. Та же диаграмма, что и на рис.3, для реакции ${}^3\text{He}p \rightarrow {}^2\text{H}pp$ при 4,5 А ГэВ/с

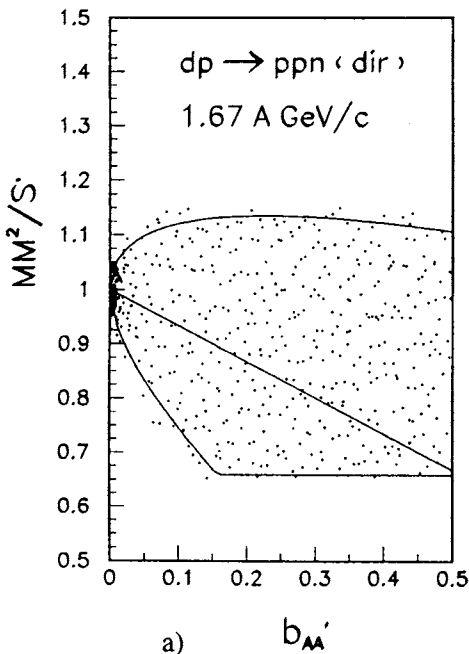


Рис.5. Диаграммы для процессов $dp \rightarrow ppn$ (а) и $dp \rightarrow ppp\pi^-$ (б) при 1,67 А ГэВ/с

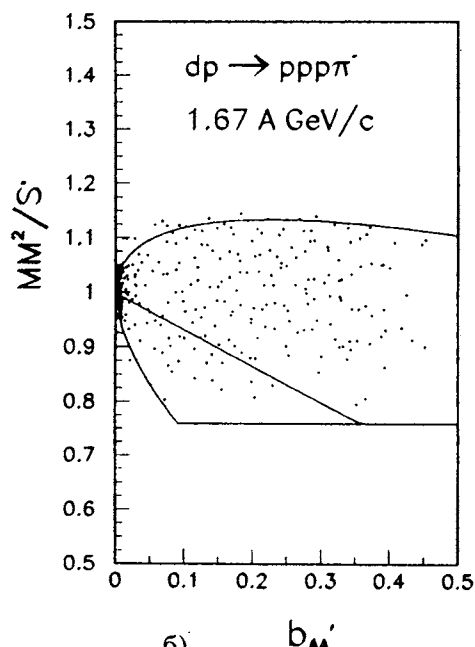
Поскольку рассматриваемые нами в данной работе реакции имеют характер квазинуклонного столкновения, попытаемся применить предложенную в [1] формулу для определения энергии связи фрагмента в исходном ядре ϵ :

$$\frac{MM^2}{S'} \approx 1 - \frac{\epsilon}{M_p}. \quad (3)$$

Для этой цели, например, рассмотрим диаграмму для событий реакции ${}^4\text{He}p \rightarrow {}^3\text{He}p$ при малых $b_{AA'}$.

На рис.6а представлены эти данные в области $b_{AA'} < 5 \cdot 10^{-4}$.

Проектируя экспериментальные точки на ось ординат, получаем распределение по MM^2/S' (рис.6б), из которого после фитирования по Гауссу оцениваем среднее значение $\langle \frac{MM^2}{S'} \rangle = 0,9780 \pm 0,0013$.



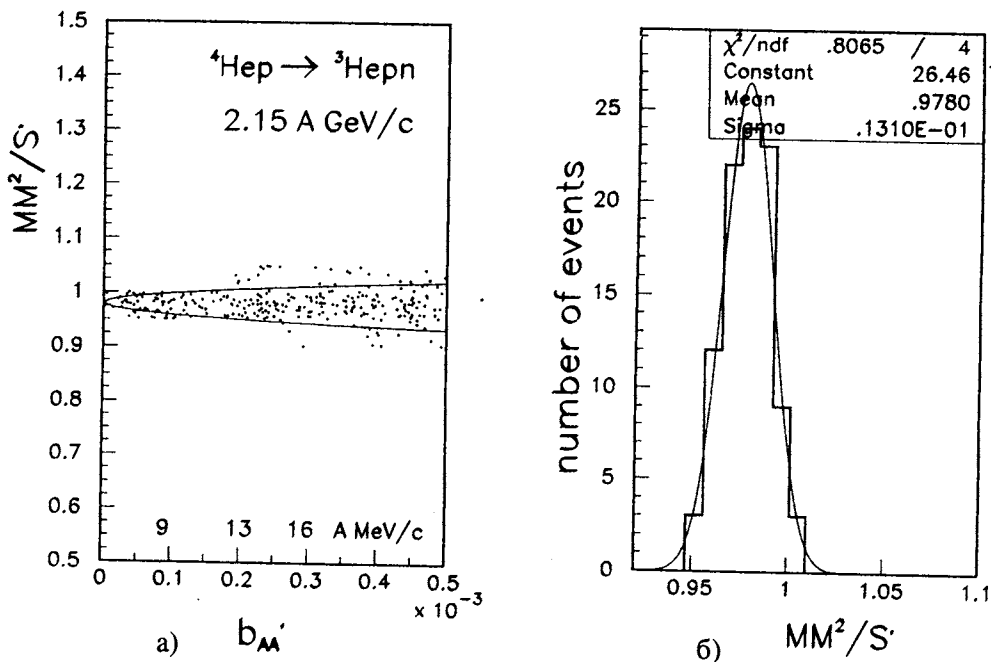


Рис.6. а) Диаграмма для реакции ${}^4\text{He}p \rightarrow {}^3\text{He}p$ при $2,15 A \text{ ГэВ}/c$ в области $b_{AA'} < 5 \cdot 10^{-4}$, верхняя шкала на оси абсцисс — импульс фрагмента на нуклон в системе покоя исходного ядра; б) распределение по величине $\frac{MM^2}{S'}$ для $b_{AA'} < 2 \cdot 10^{-4}$ (импульс ${}^3\text{He}$ в системе покоя ${}^4\text{He}$ меньше $13 A \text{ МэВ}/c$)

Отсюда, используя выражение (3), получаем для энергии связи ${}^3\text{He}$ в ядре ${}^4\text{He}$ $\varepsilon = (20,6 \pm 1,3) \text{ МэВ}/c^2$, что находится в хорошем согласии со значением $\varepsilon_t = 20,57 \text{ МэВ}/c^2$, вычисленным из известных величин масс ${}^4\text{He}$, ${}^3\text{He}$ и p .

Используя точное выражение

$$\frac{MM^2}{S'} = 1 - 2\varepsilon \frac{(M_p + E_p)}{S'} + \frac{\varepsilon^2}{S'}, \quad (4)$$

получим $\varepsilon = (20,7 \pm 1,3) \text{ МэВ}/c^2$.

На рис.6а для оси абсцисс кроме шкалы $b_{AA'}$ приведена шкала импульсов в системе покоя ядра A . Видно, что вследствие малых величин импульсов фрагментов предлагаемый метод определения энергии связи не может быть применен к фрагментации покоящегося исходного ядра (мишень). Необходимой является работа в пучках ускоренных ядер с прецизионным измерением импульсов быстрых фрагментов в области $b_{AA'} \rightarrow 0$.

Наконец, использование предложенной диаграммы поможет понять и скорректировать данные, получаемые при облучении покоящейся мишени, с отбором фрагментов в ограниченной угловой апертуре.

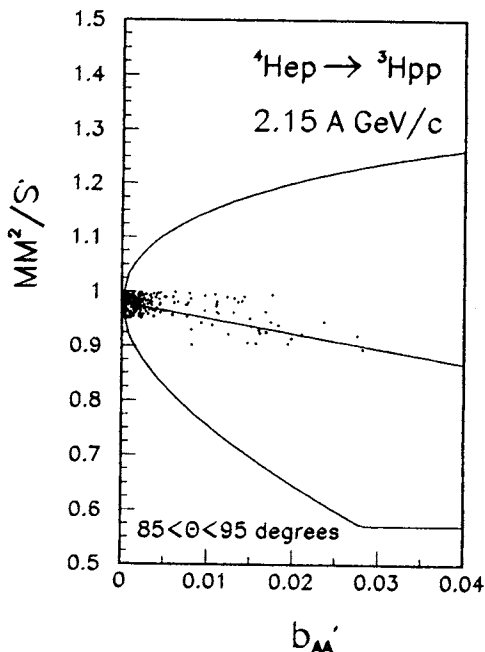


Рис.7. Диаграмма для реакции ${}^4\text{He}p \rightarrow {}^3\text{H}pp$ при 2,15 А ГэВ/с для случая вылета фрагментов ${}^3\text{H}$ в диапазоне углов $85 < \theta < 95^\circ$ (система покоя ядра ${}^4\text{He}$)

На примере реакции ${}^3\text{He}p \rightarrow {}^3\text{He}pp$ продемонстрирован метод определения энергии связи ядра-фрагмента в исходном ядре.

Показано преимущество работы в пучках ускоренных ядер с использованием широкоапертурных прецизионных спектрометров, в том числе и для уменьшения искажений при исследовании процессов фрагментации.

Авторы благодарны Н.М.Пискунову и Е.А.Строковскому за полезные советы, А.П.Богословской — за техническую помощь при организации базы данных, В.В.Илющенко — за помощь в оформлении работы.

Литература

- Глаголев В.В., Мартинска Г., Урбан Й. — Краткие сообщения ОИЯИ, 1998, № 3[89]-98, с.31.
- Baldin A.M. — Nucl. Phys., 1985, A447, p 203c.
- Glagolev V.V. — Nucl. Phys. (Proc. Suppl.), 1994, 36, p.509.
- Балдин А.М., Диденко Л.А. — Лекции для молодых ученых. ОИЯИ, Р1-87-912, Дубна, 1987.

Например, при отборе фрагментов трития вблизи 90° в ${}^4\text{He}p \rightarrow {}^3\text{H}pp$ реакции диаграмма заполняется лишь частично, как видно из рис.7, где показаны события в ограниченном интервале углов вылета ядер трития $[85^\circ, 95^\circ]$. Это приводит к изменению, например, параметра наклона в распределении $\frac{d\sigma}{db_{AA'}} = A + B \exp(\alpha \cdot b_{AA'})$.

Так, если для полного набора событий (2810 событий) наклон $\alpha = -391,4 \pm 9,4$, то для указанной выборки (229 событий) $\alpha = -443,9 \pm 39,1$.

3. Заключение

В работе показаны отдельные стороны применения новой диаграммы для реакций фрагментации легких ядер. Видно, как и ожидалось, что фрагментация идет главным образом при малых значениях квадрата относительной 4-скорости $b_{AA'}$. Заполнение диаграмм событиями при различных энергиях находится в рамках расчетных контуров и подтверждает тем самым автомодельное поведение реакций при малых $b_{AA'}$, т.е. в области фрагментации.